

**Fig. 1**  
*Prior art*

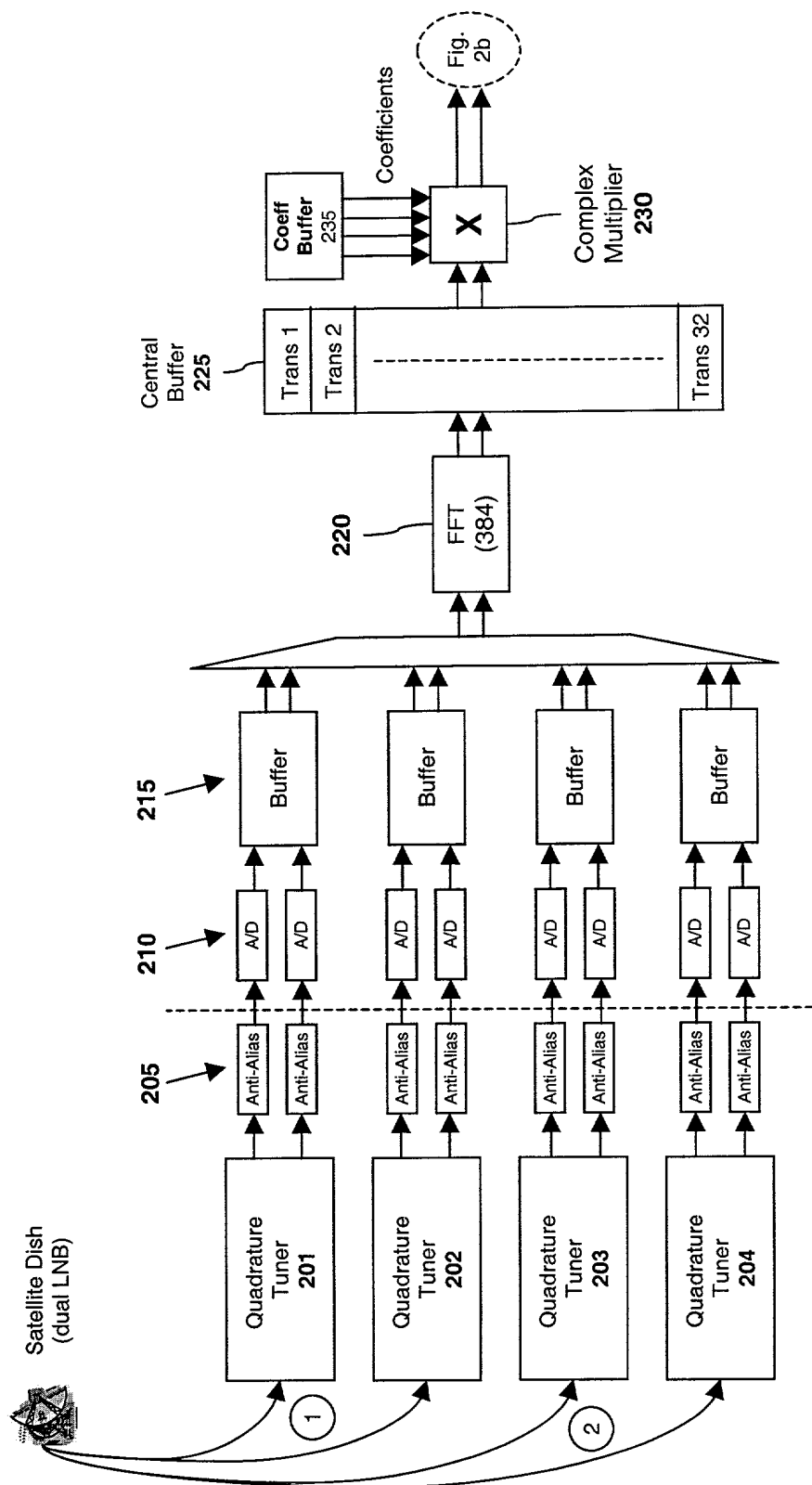


Fig. 2a

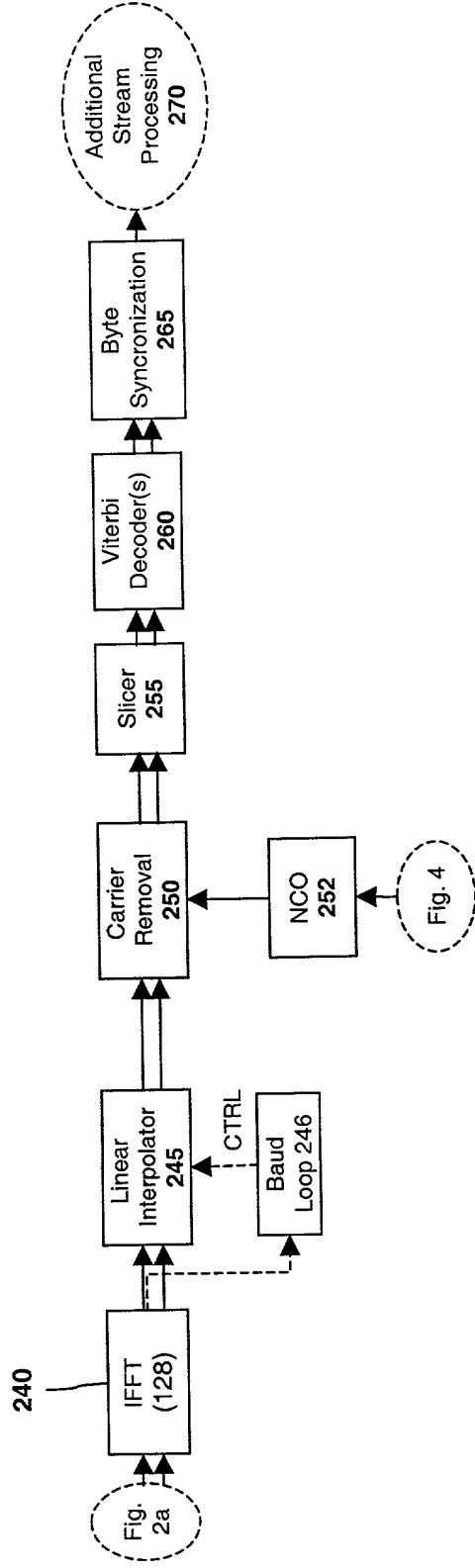


Fig. 2b

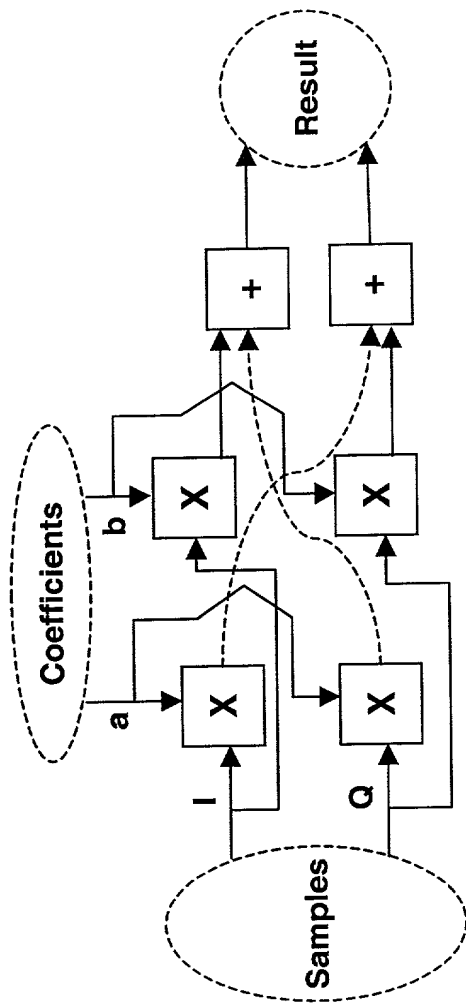
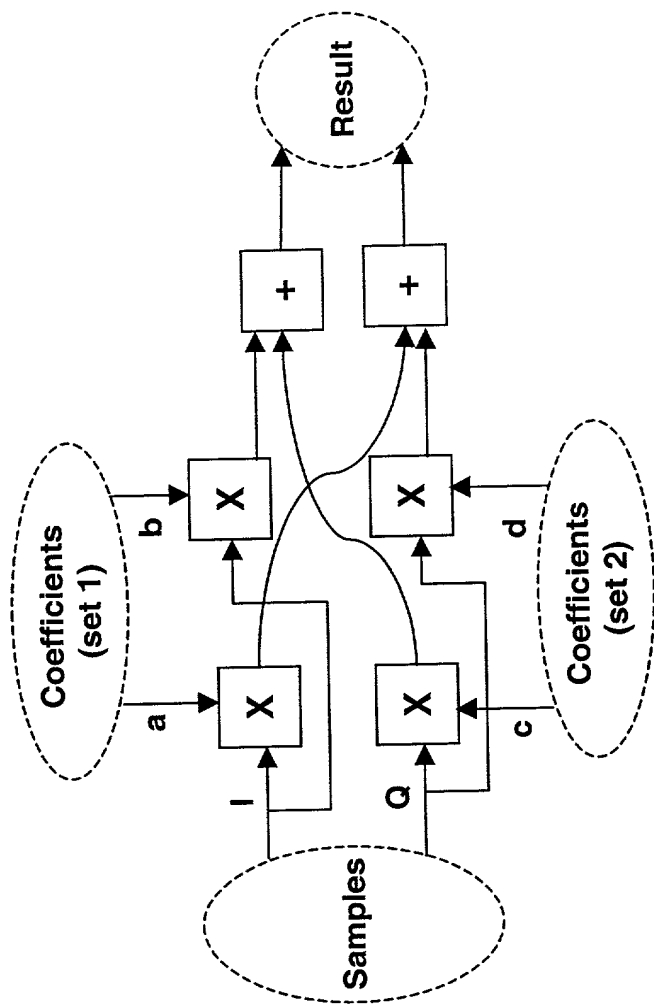


Fig. 3a



**Fig. 3b**

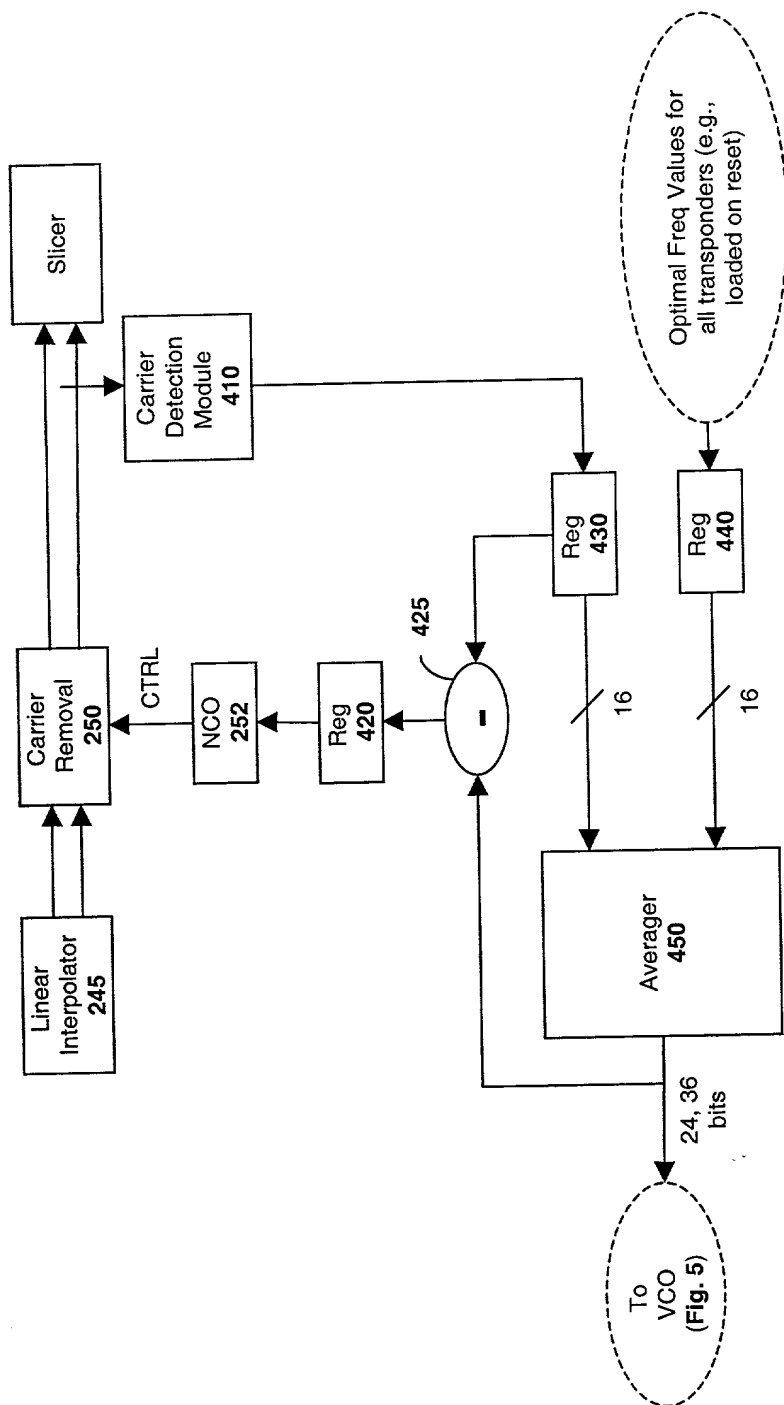
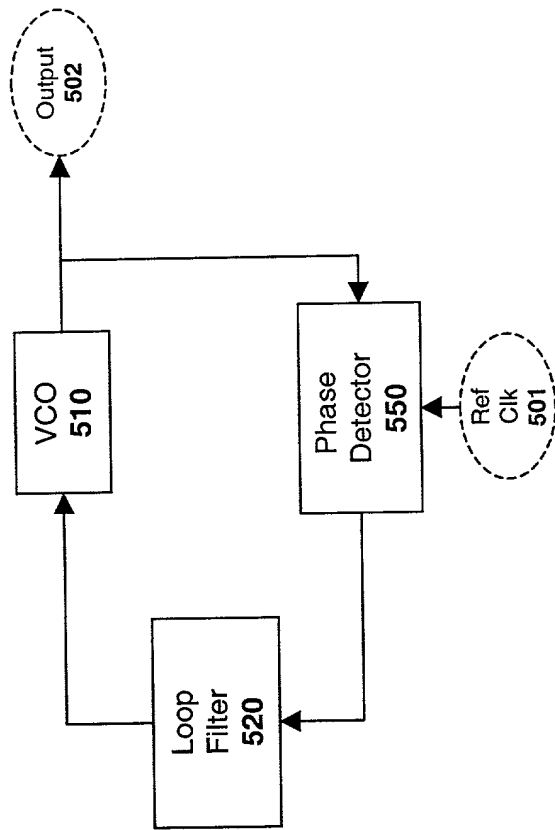
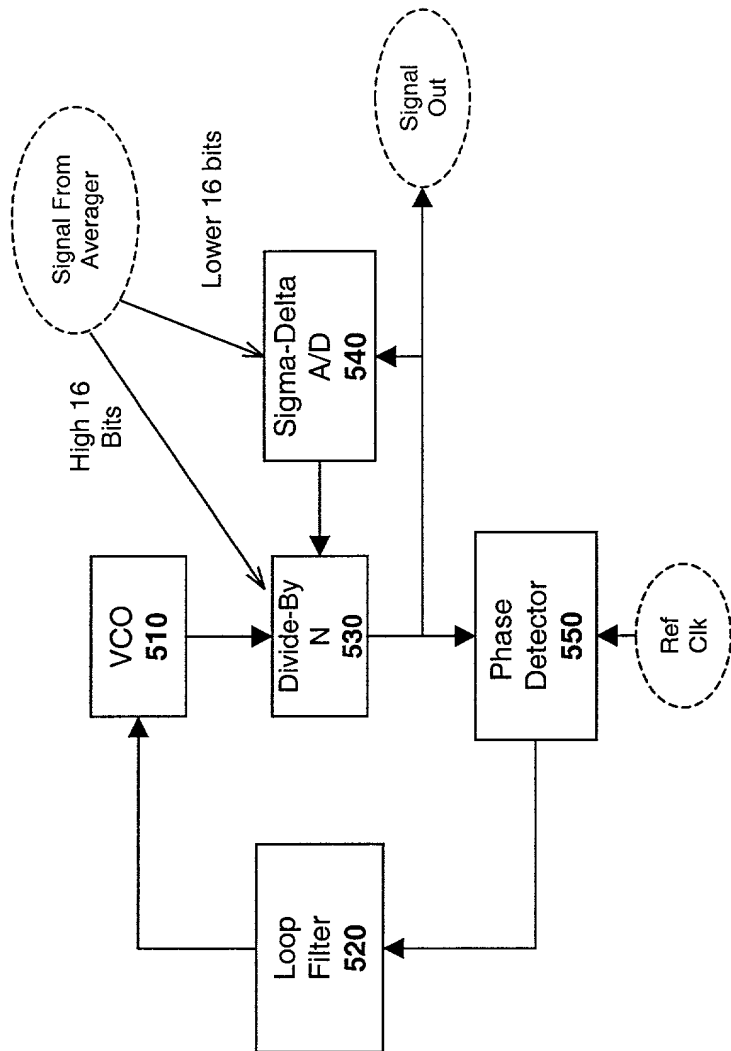


Fig. 4

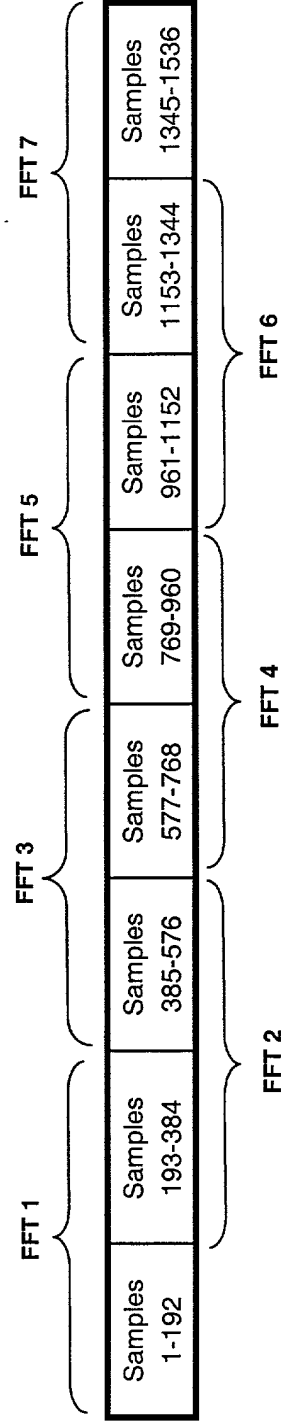


**Fig. 5a**



**Fig. 5b**





**Fig. 6**  
FFT Input Data

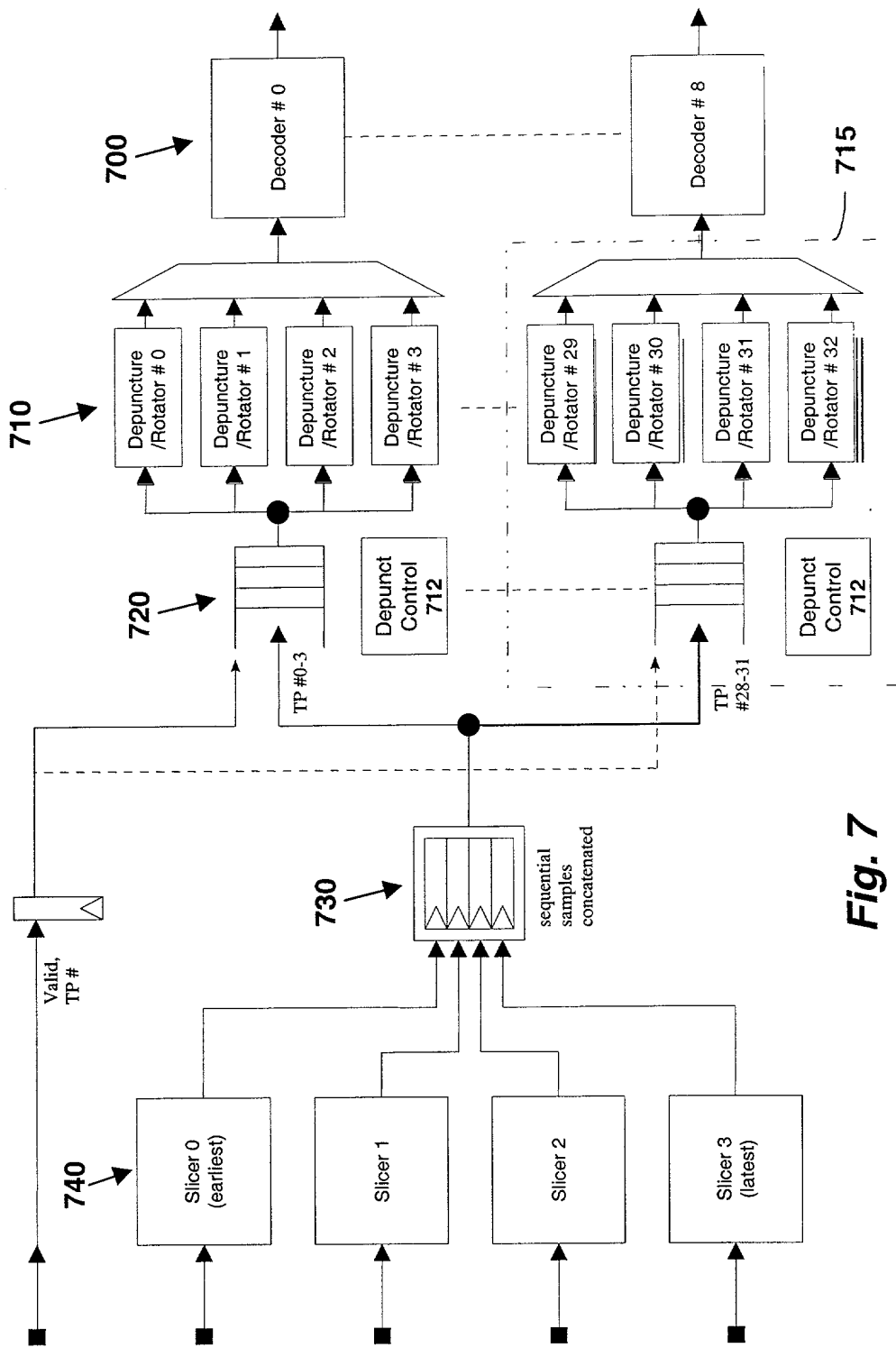


Fig. 7

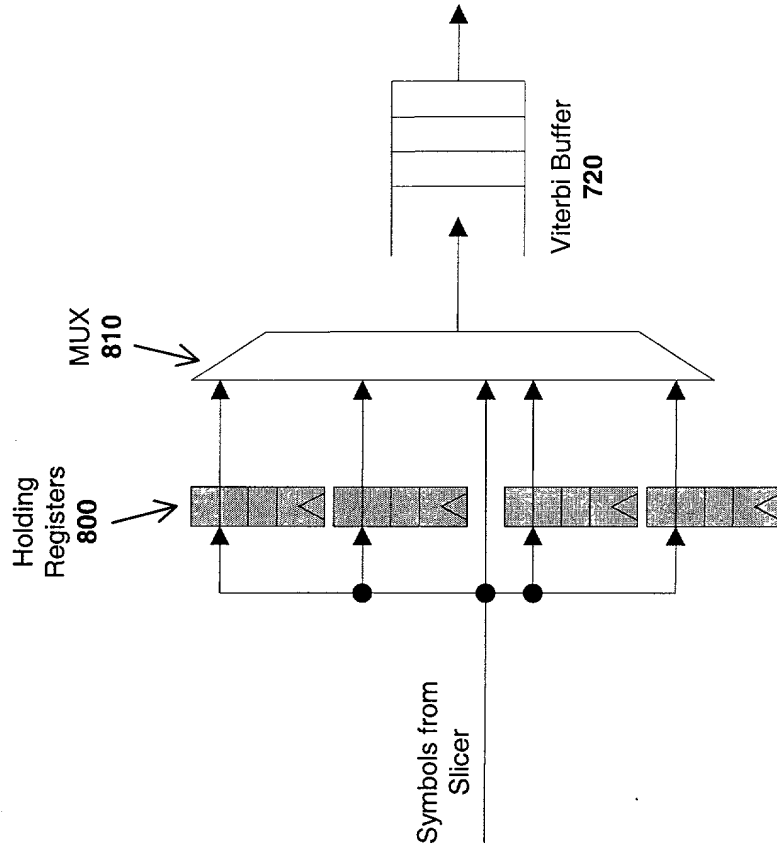
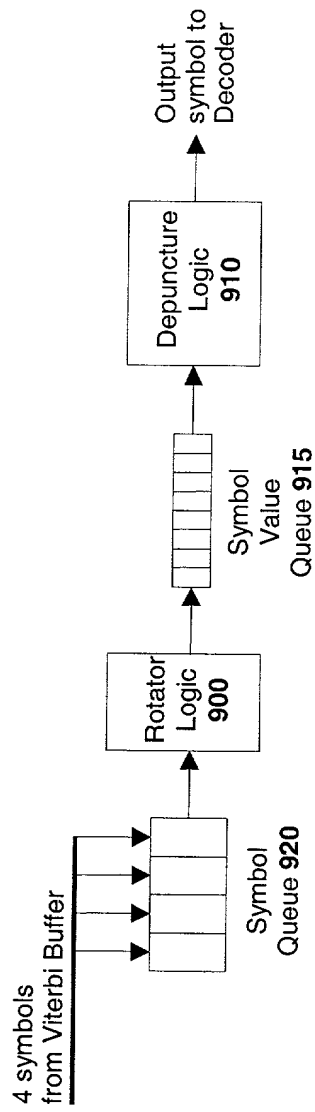


Fig. 8



**Fig. 9**

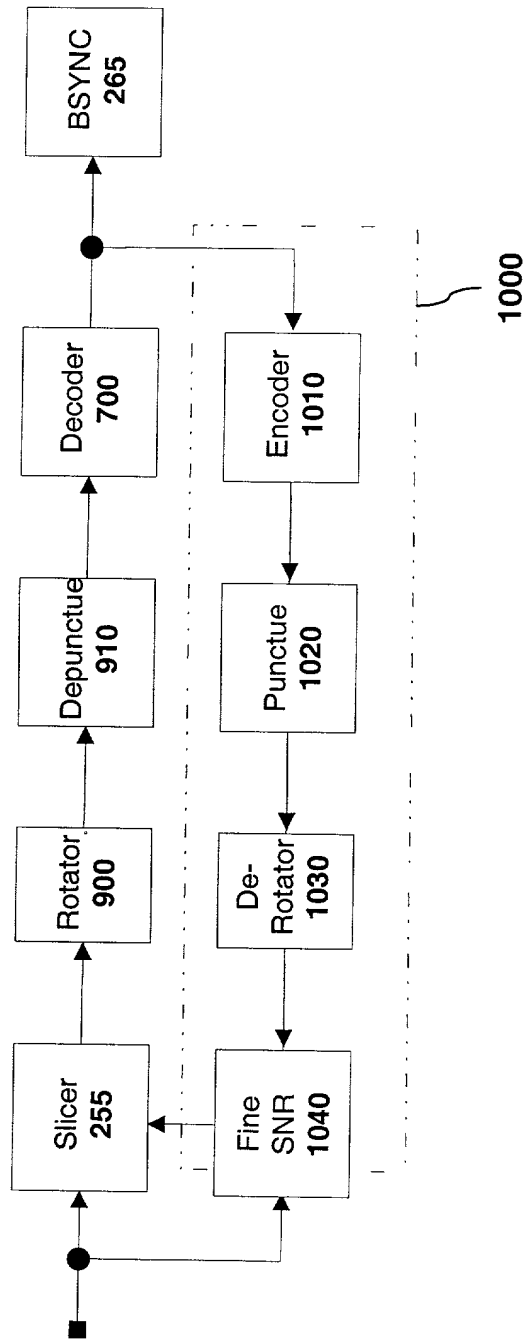
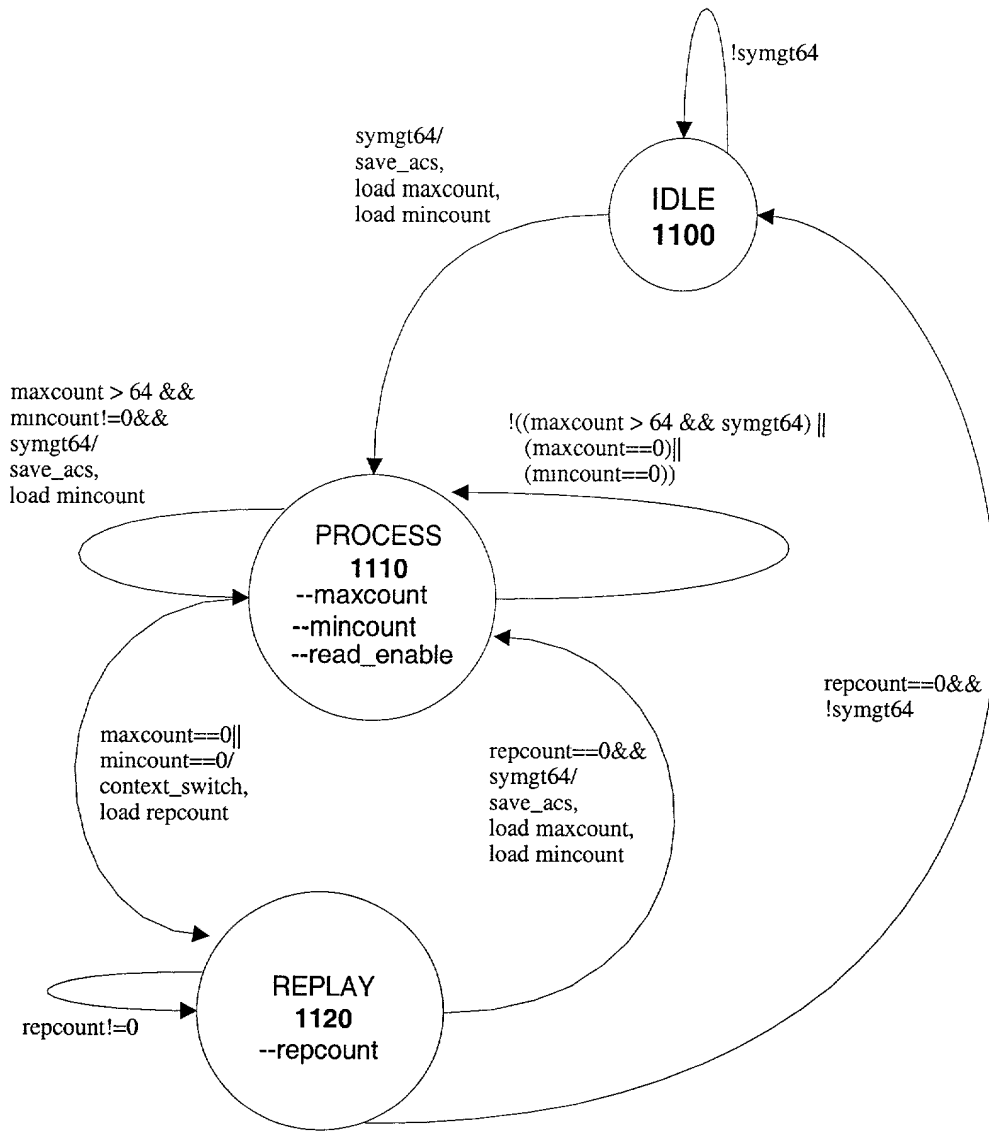


Fig. 10



**Fig. 11**

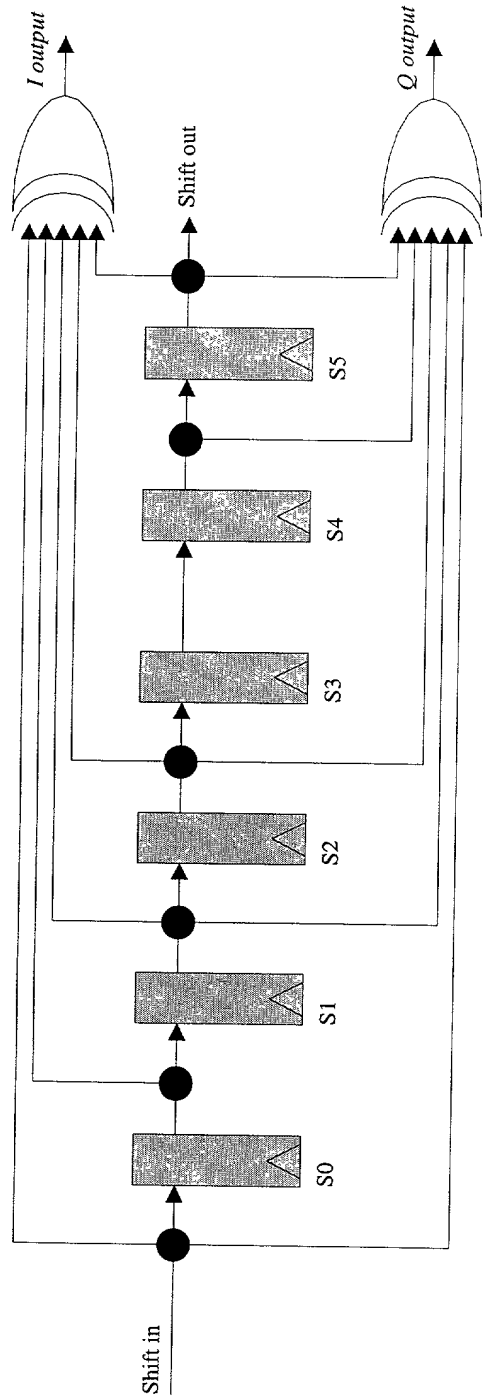


Fig. 12

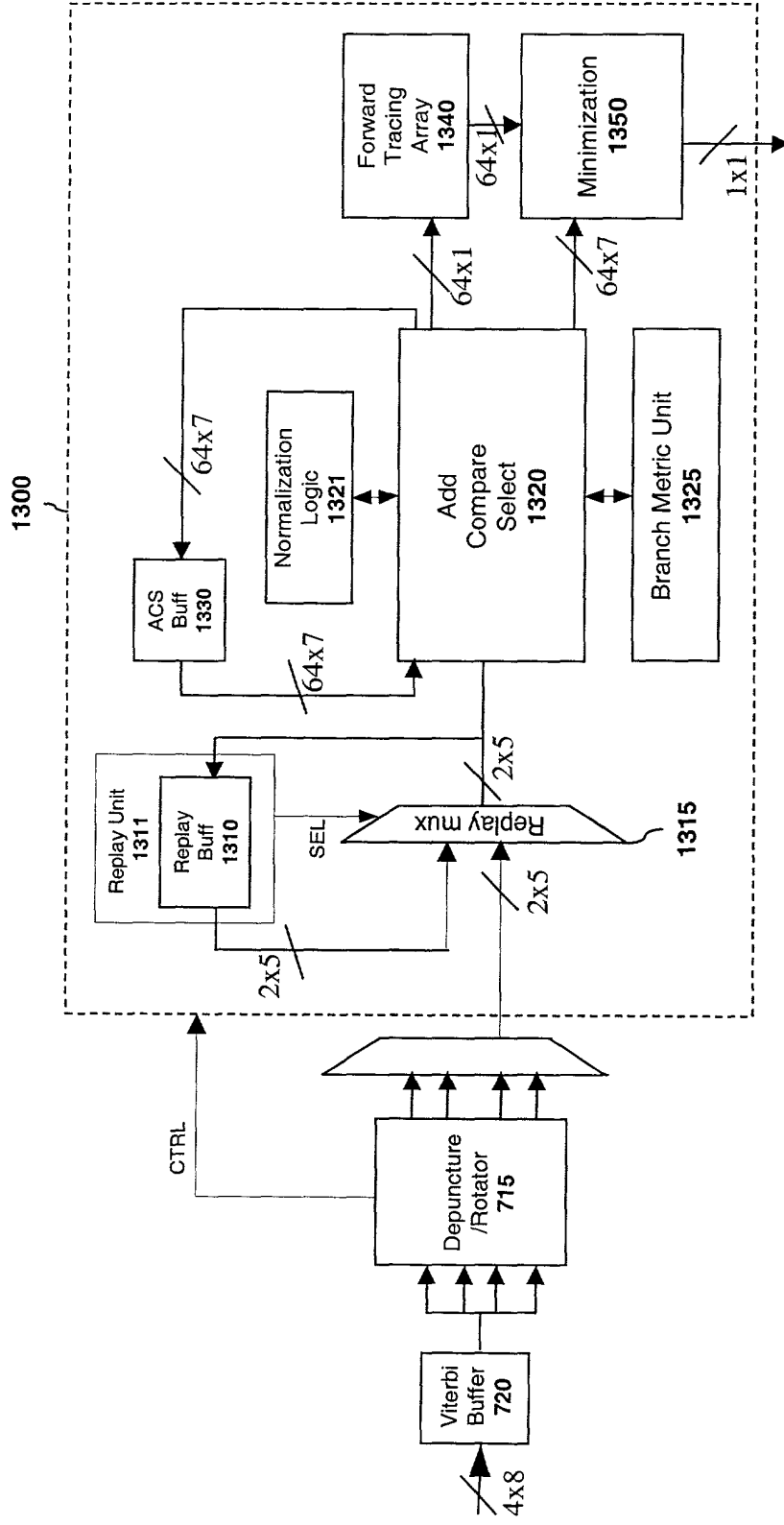


Fig. 13a



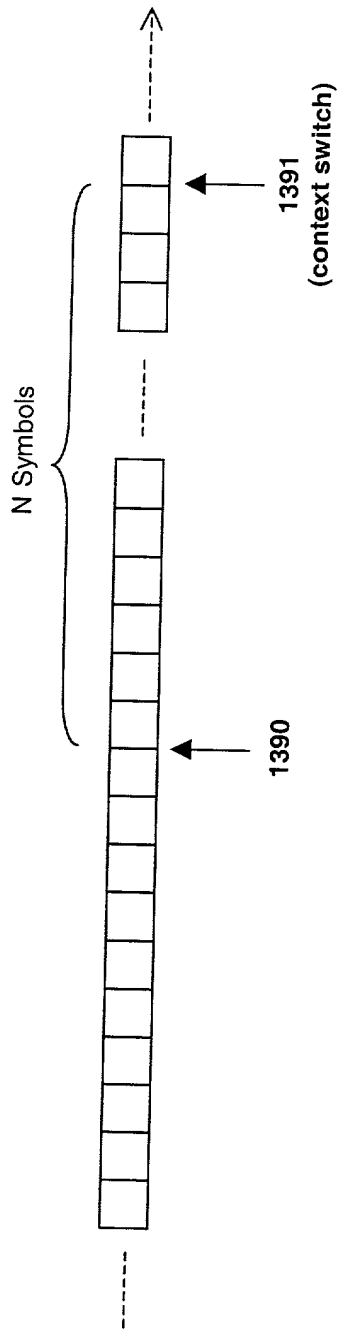


Fig. 13b

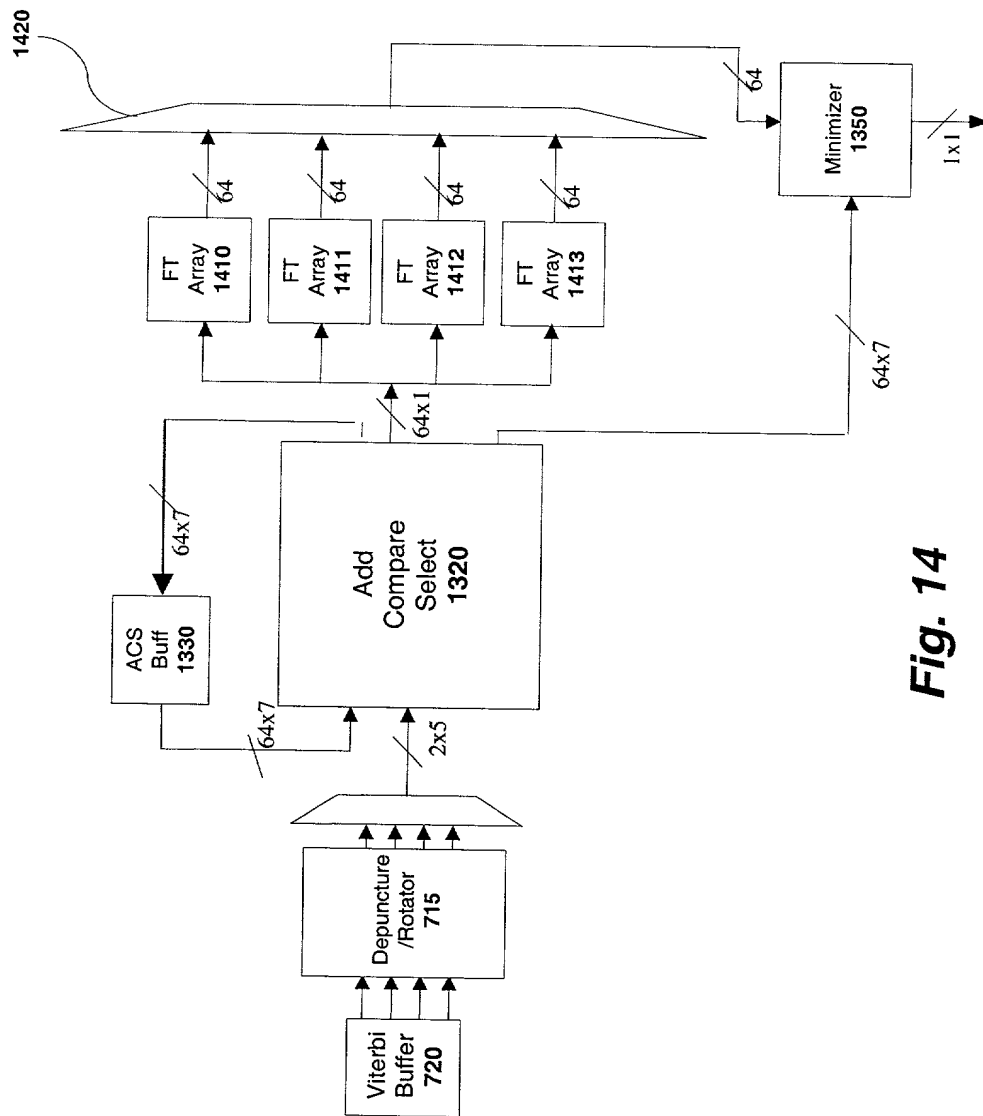


Fig. 14

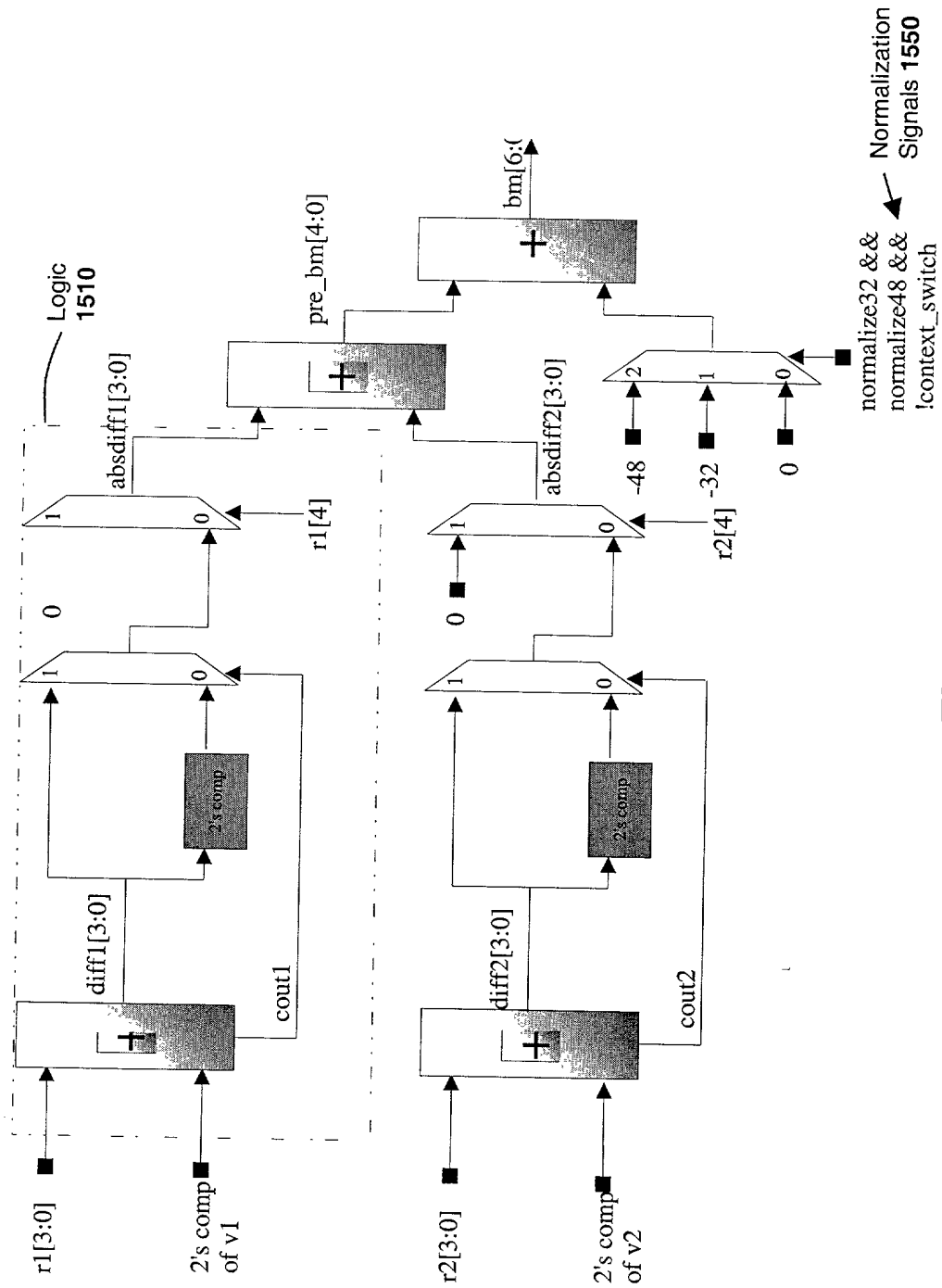
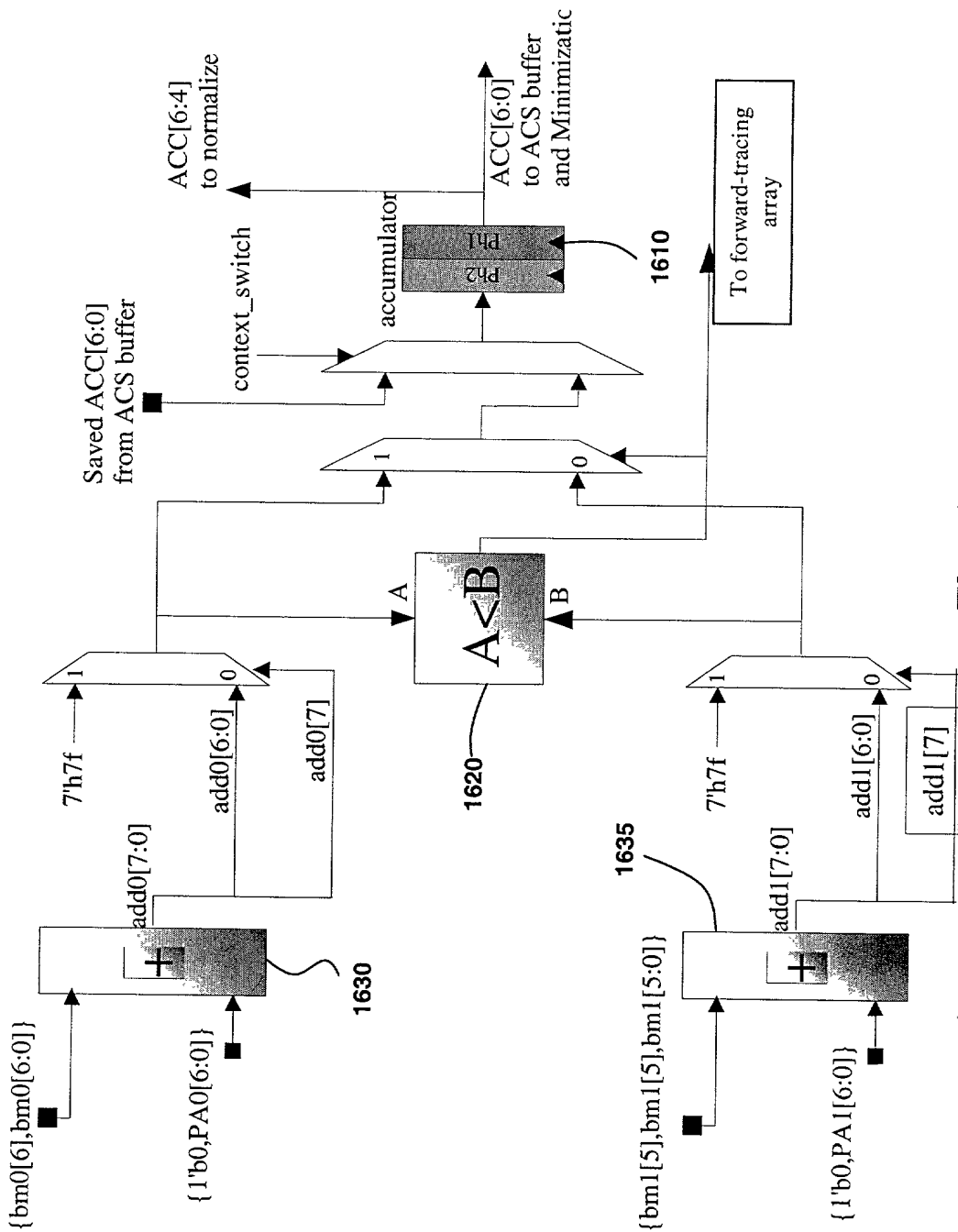


Fig. 15



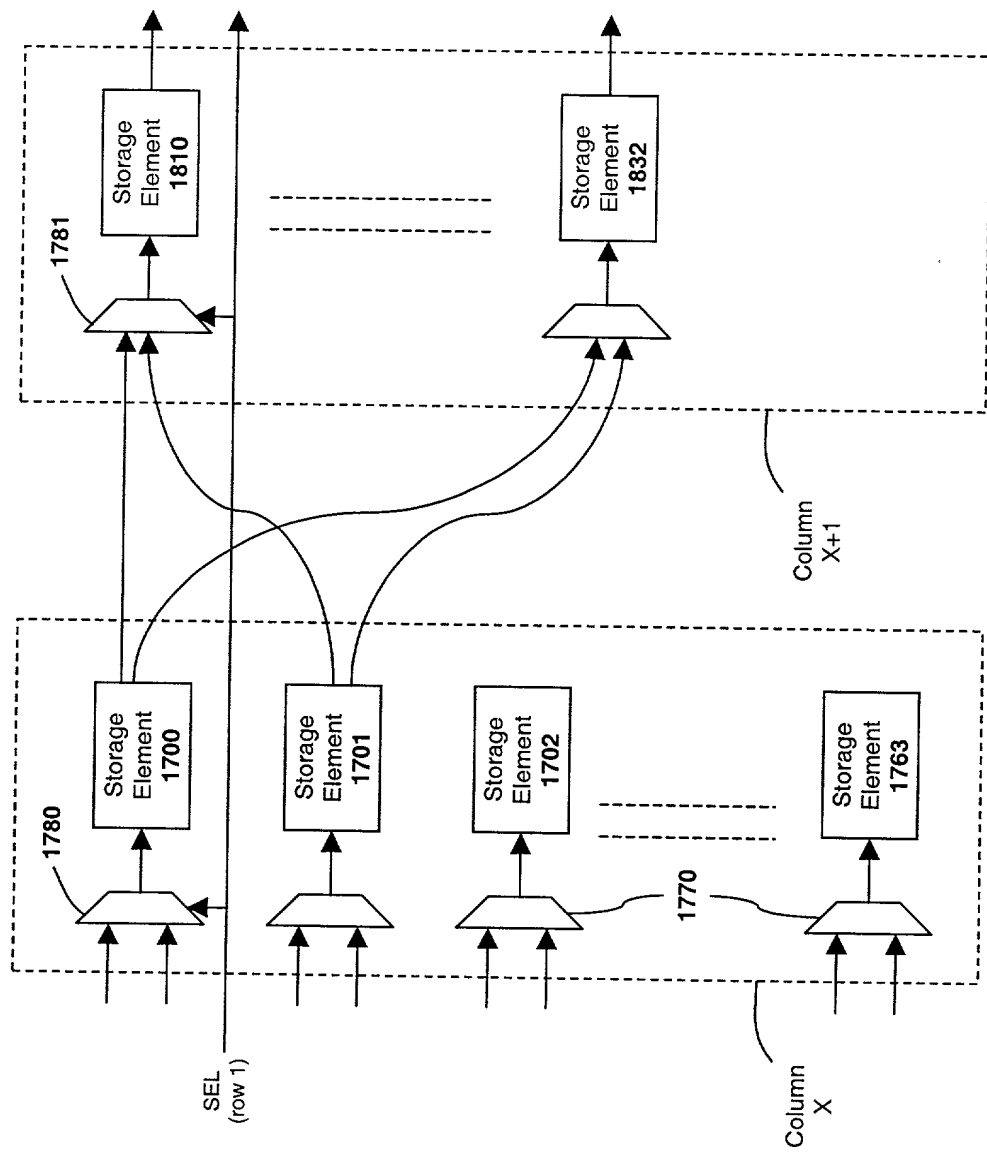


Fig. 17

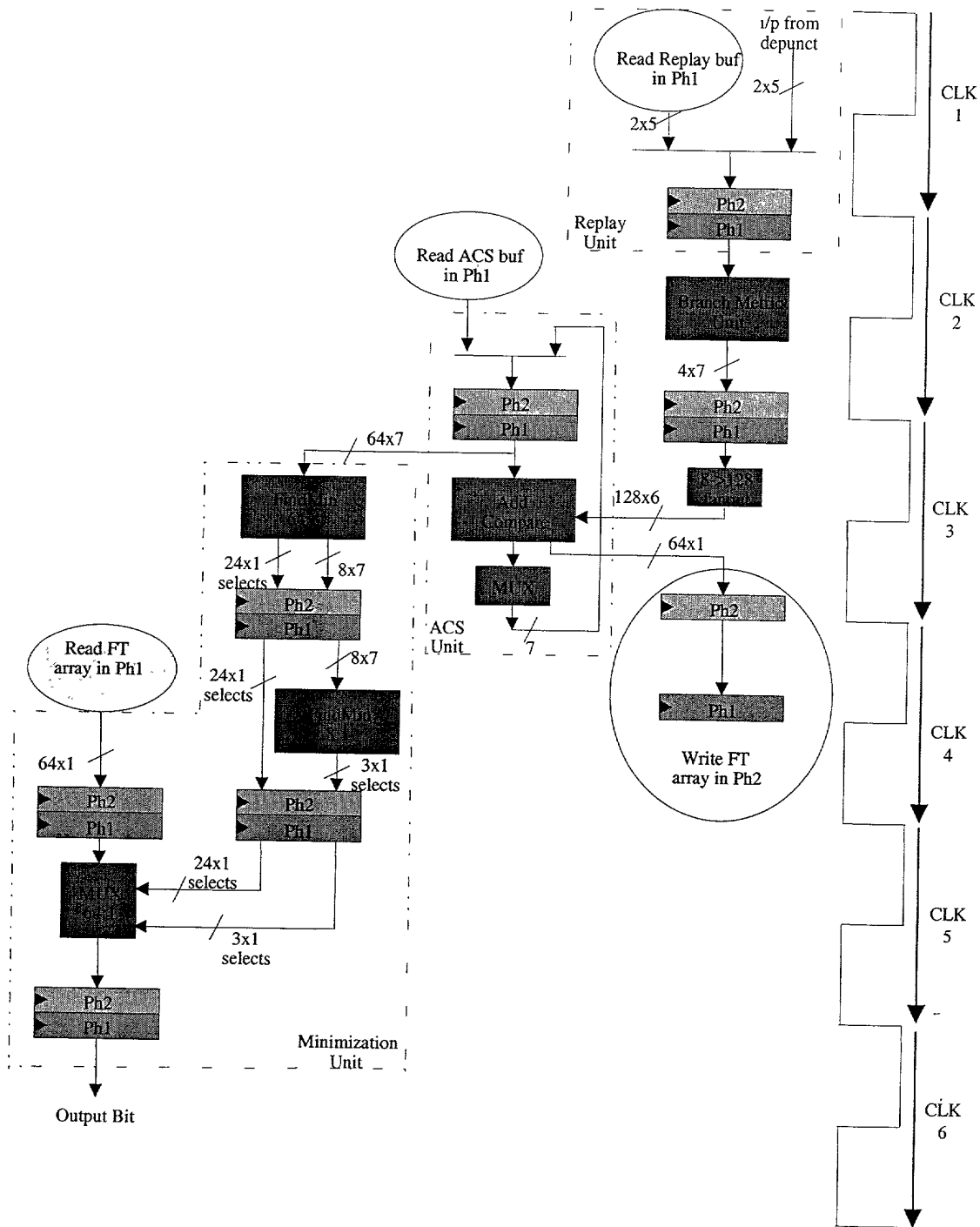


Fig. 18

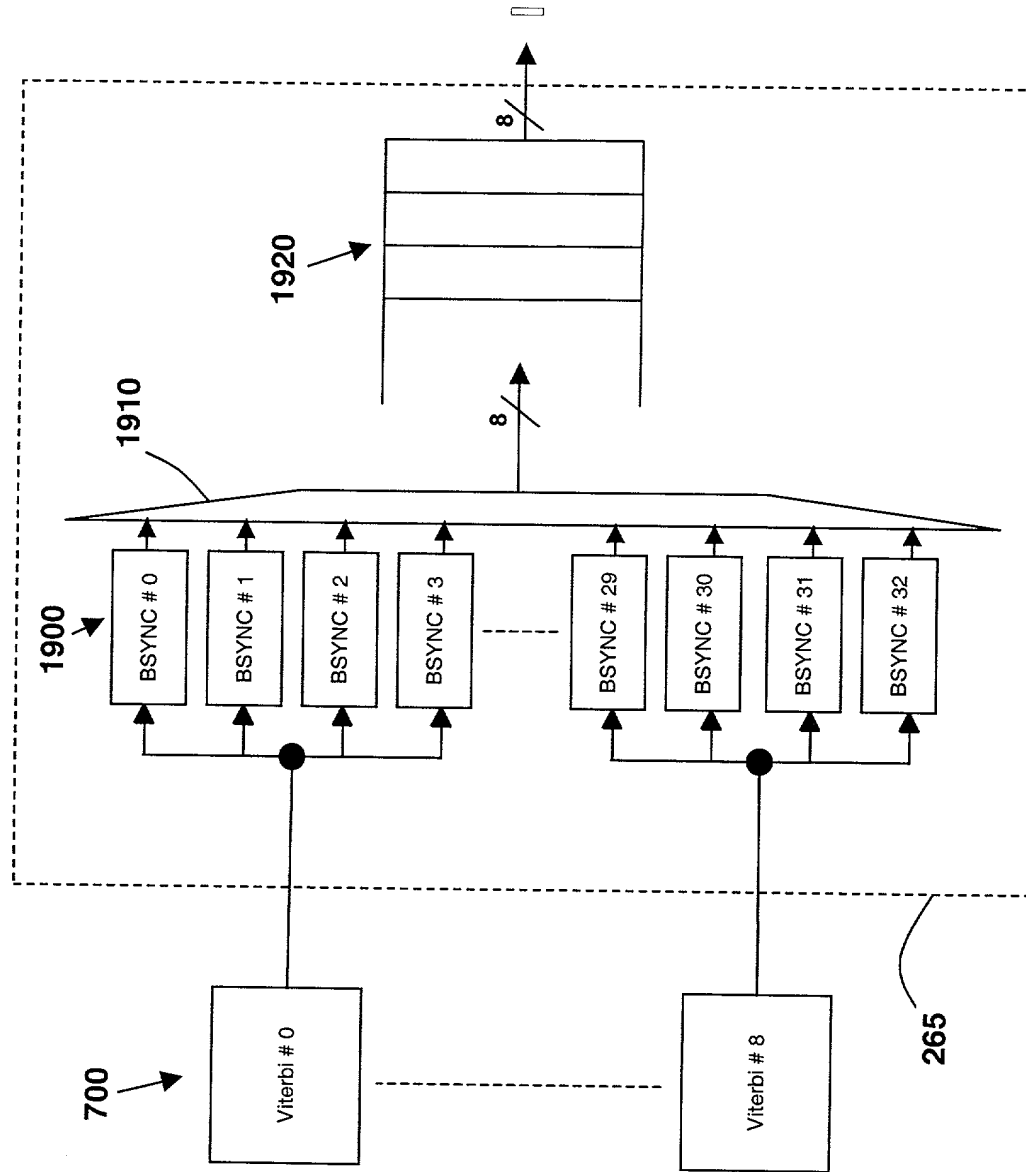


Fig. 19

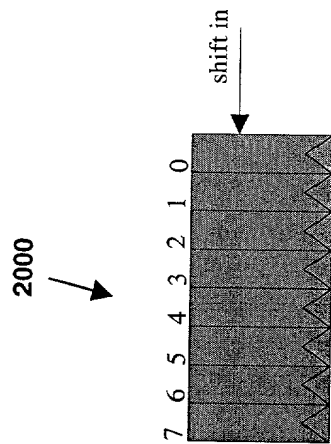
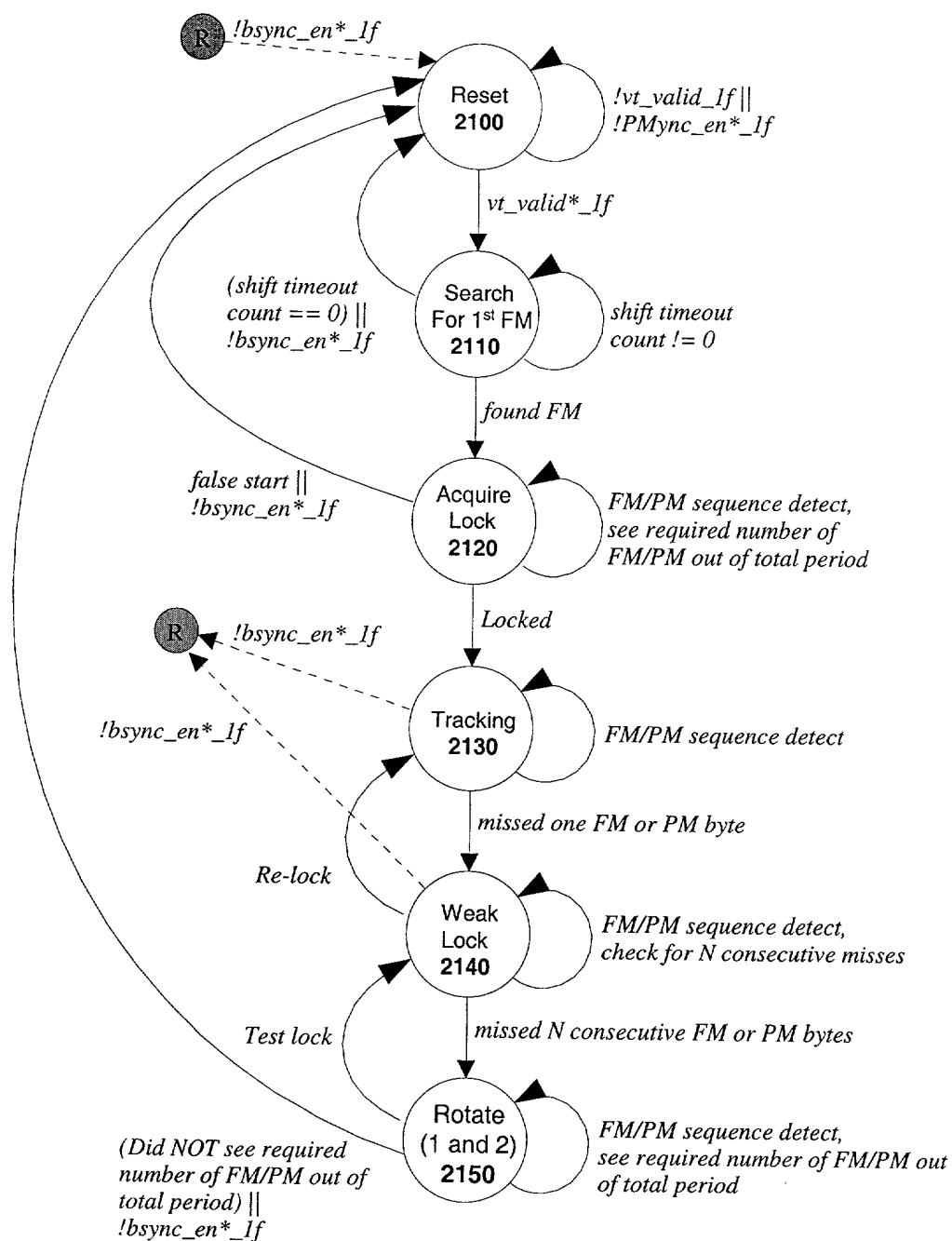


Fig. 20





**Fig. 21**

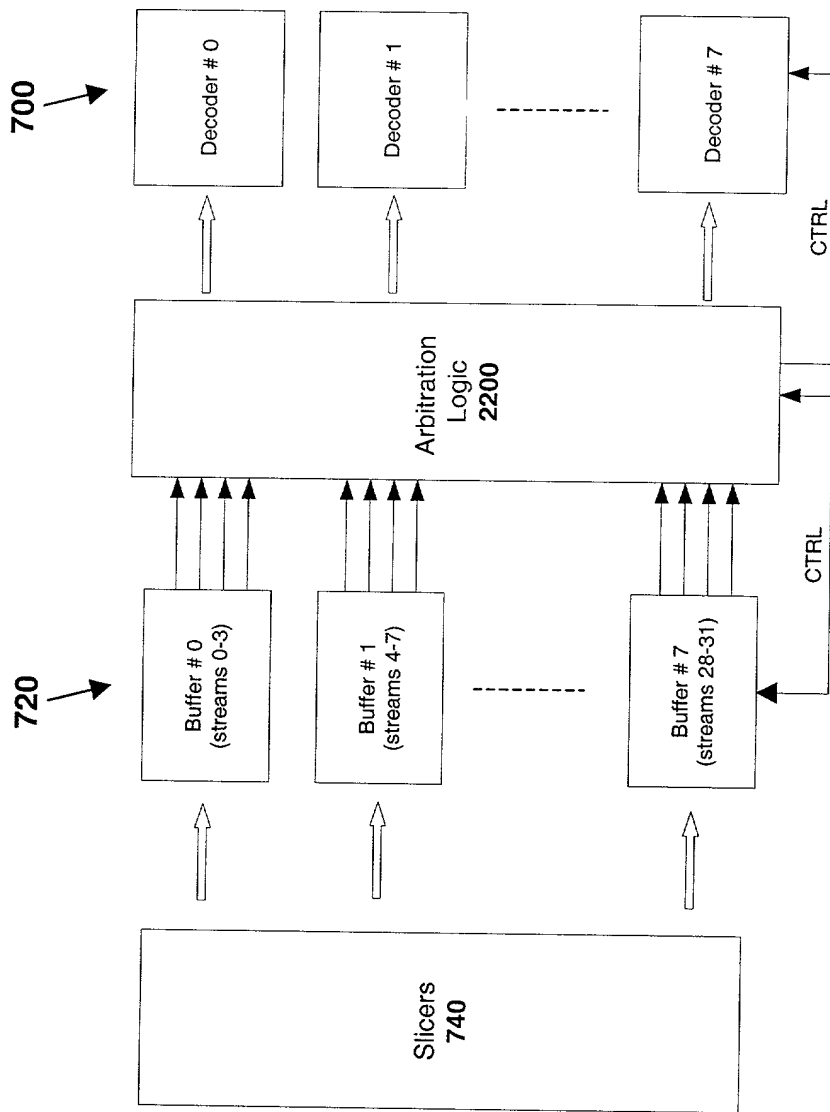


Fig. 22

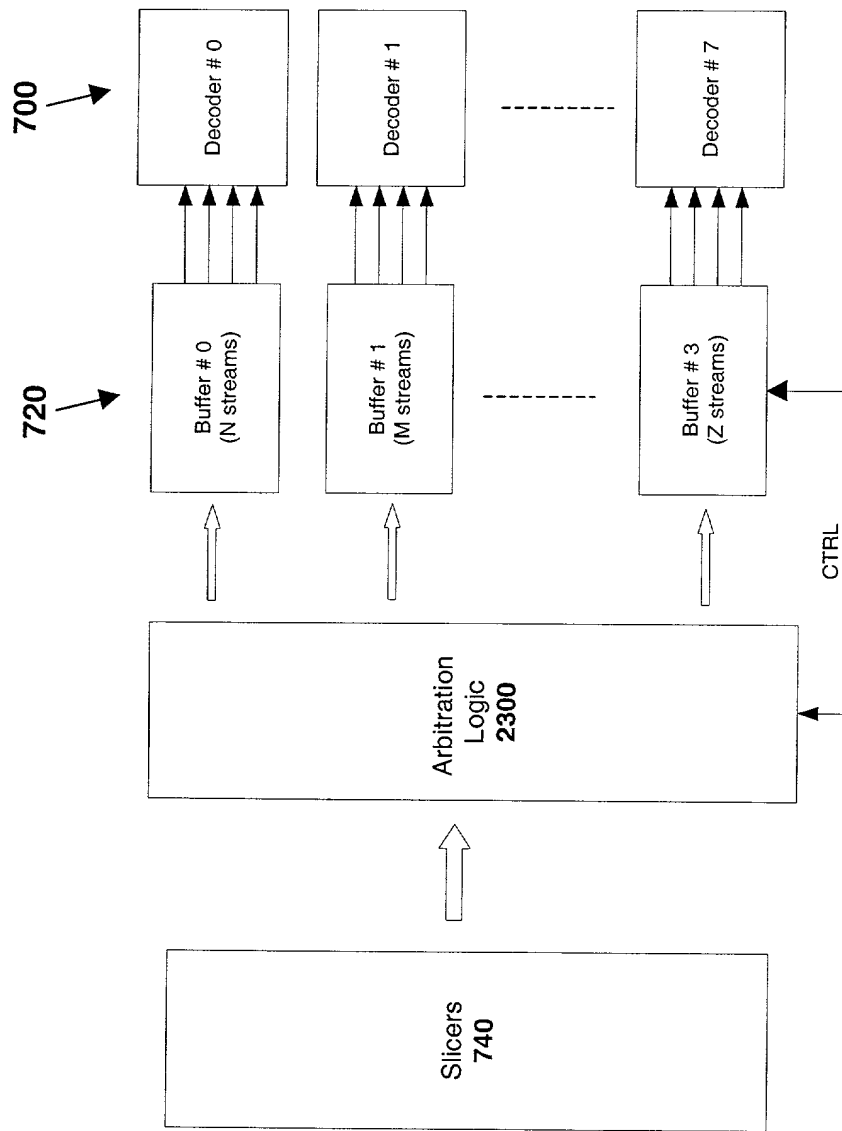


Fig. 23

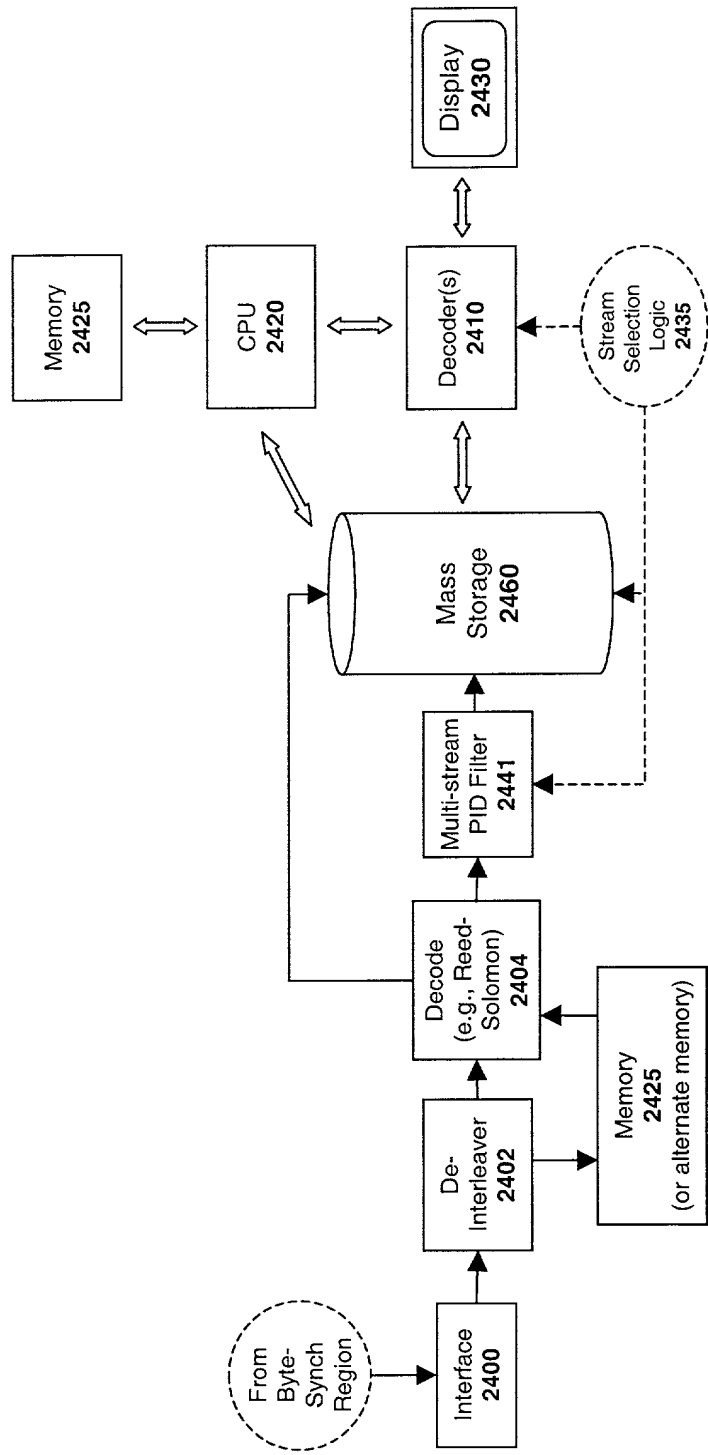


Fig. 24